

УДК 538.221

©1995

# ДИАГРАММЫ СОСТОЯНИЙ ДИНАМИЧЕСКИХ СИСТЕМ МАГНИТНЫХ ДОМЕНОВ

Г.С.Кандаурова, Ж.А.Кипшакбаева

Уральский государственный университет им. А.М. Горького, Екатеринбург  
(Поступила в Редакцию 15 августа 1994 г.)

Впервые для тонких магнитных пленок с перпендикулярной анизотропией построены и изучены полные динамические доменные фазовые диаграммы в широком интервале частот и амплитуд переменного поля. На каждой диаграмме выделены области, которым соответствуют различные по геометрии и динамическому поведению доменные структуры (фазы). Обозначены области динамической самоорганизации. Обнаружены совершенно новые динамические доменные структуры.

Известно [1,2], что явление самоорганизации динамической системы магнитных доменов имеет место в определенной области частот  $f$  и амплитуд  $H_0$  переменного магнитного поля. Для исследованных в [1,2] пленок ферритов-гранатов (ФГ) эта область ограничивалась значениями  $f = 10^2 - 10^4$  Hz и  $H_0 < H$  — статического поля насыщения. Здесь формировались кольцевые и спиральные динамические доменные структуры (ДДС), а также имела место самогенерация периодических процессов возникновения/исчезновения ДДС. Это область ангерного состояния (АС) многодоменной среды [3]. На границах области реализуются переходы хаотическая ДДС-упорядоченная ДДС. В [4] была найдена еще одна ограниченная область АС, где формировалась ДДС типа «ведущий центр». Ведущий центр — это система концентрических кольцевых доменов с гребенчатыми [5] или гладкими [6] границами. В центре системы периодически возникают и расширяются цилиндрические домены чередующейся полярности. Частота  $f_s$  работы ведущего центра на несколько порядков меньше  $f$ . В [7] наблюдались и другие виды упорядоченных ДДС (однородные и смешанные решетки цилиндрических, эллиптических, гантелейвидных доменов) и фазовые переходы между ними. Большое разнообразие ДДС найдено в [3,8].

Учитывая все это, мы поставили перед собой задачу построения и анализа полных динамических доменных фазовых диаграмм (ФД) для каждого из исследованных образцов в широкой области значений амплитуд и частот переменного магнитного поля. При этом к разным динамическим доменным fazam отнесли ДДС, четко различающиеся

по конфигурации и динамическому поведению. Оказалось, что построенные таким образом ФД несут богатейшую информацию о кооперативных явлениях в динамической системе магнитных доменов.

Исследовались эпитаксиальные ФГ пленки (111) с одноосной перпендикулярной анизотропией, толщиной 2–9  $\mu\text{m}$ , намагниченностью насыщения 5–30 Gs, полями анизотропии 1–15 kOe. Образцы площадью 15–25  $\text{mm}^2$  помещались в среднюю плоскость катушки диаметром 6.5 mm и высотой 5 mm. Переменное поле  $H(t) = H \sin 2\pi ft$  ориентировалось по нормали к образцу. Частота и амплитуда варьировались в пределах  $f = 0–140 \text{ kHz}$  и  $H_0 = 0–100 \text{ Oe}$ . Пределы по амплитуде поля ограничивались аппаратурными возможностями и требованием постоянства температуры во время каждого опыта. Доменная структура (ДС) выявлялась с помощью магнитооптического эффекта Фарадея и фотографировалась с экспозицией  $\sim 1 \text{ ms}$ .

В качестве иллюстрации приведем большой и наиболее интересный фрагмент ФД для пленки  $(\text{YBi})_3(\text{FeGa})_5\text{O}_{12}$  толщиной 2  $\mu\text{m}$  (рис. 1). У этого образца температура магнитной компенсации находится несколько ниже комнатной. Поэтому в исходном состоянии (рис. 2, a) он имеет нерегулярную, «рваную» ДС с произвольной формой доменов. Коэрцитивность границ велика, и в статическом поле намагничивание происходит скачками. После магнитной «тряски» частотой 50 Hz и  $H_0 = 3–4 \text{ Oe}$  структура становится похожей на полосовую лабиринтную ДС, но с изломанными границами. Такой характер ДС сохраняется до больших частот. Это область 1 на ФД (рис. 1). Здесь границы доменов только «дрожат». Домены не меняют конфигурацию. При больших амплитудах проявляется эффект снижения коэрцитивности в переменном поле [9]. Домены начинают перемещаться, и в результате формируется подвижная лабиринтная ДС с гладкими границами. Ширина доменов  $\sim 50 \mu\text{m}$ . Это область 2 на рис. 1.

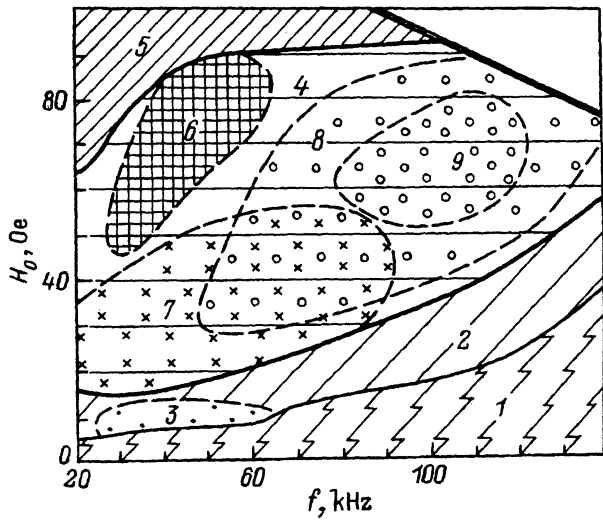


Рис. 1. Доменная динамическая фазовая диаграмма пленки феррита-граната при температуре 29°C.

Различной штриховкой и номерами обозначены области существования динамических доменных структур различного вида. Верхний правый угол не заполнен из-за ограничений экспериментальной методики.

Примечательна область 3 на ФД. Здесь лабиринтарная ЛС исчезает. На однородном темном фоне видны мелкие не очень правильной формы цилиндрические домены, закрепленные на каких-то точечных дефектах. Размер доменов  $\sim 150 \mu\text{m}$ . Эти домены колеблются, дрожат, мигают, но не перемещаются по образцу. Визуально они очень похожи на звездочки.

Прежде чем описывать обширную область 4 на ФД, отметим область 5. Ей соответствует очень подвижная неупорядоченная структура из различных доменов (изогнутые полосы, искаженные круги, гантели, эллипсы, кольца и др.). Все домены интенсивно двигаются, меняют размеры, форму, исчезают и появляются. Таким образом, в областях 1, 2 и 5 имеют место хаотические, но весьма различные ЛС, поэтому мы их выделили как разные динамические доменные фазы.

Область 4 на ФД обозначена редкой, горизонтальной штриховкой. Границы ее обведены жирными линиями. При увеличении  $H_0$  в этой области начинают «работать» (нижняя граница), активно действуют, а затем прекращают «работать» (верхняя граница) различные доменные источники (ДИ). Они расположены на краю образца или на некоторых локальных дефектах. Именно здесь периодически возникают, растут и отрываются от дефекта все новые и новые домены. Среди ДИ есть ведущие центры. Есть ДИ, которые испускают последовательно друг за другом отдельные цилиндрические домены или целые группы цилиндрических доменов. Впервые о них сообщено в [6]. В этой работе такие ДИ относились к «свообразным ведущим центрам». Однако целесообразно термин «ведущий центр» сохранить только за ЛС в виде системы концентрических колец, в центре которой находится генератор цилиндрических доменов. Есть ДИ, которые при изменении  $f$  или  $H_0$  меняют свой характер и вместо одних по форме доменов начинают испускать другие. Среди ДИ есть и такие, которые работают нестабильно, со сбоями, генерируют неопределенные по форме домены. Такие ДИ порождают хаос. Надо подчеркнуть, что во всех случаях собственная частота  $f_s$  работы ДИ на несколько порядков меньше частоты переменного поля  $f$ . Продолжительность работы ДИ определяется временем действия внешнего переменного поля. Это время ограничивается лишь требованием постоянства температуры образца.

При вариации  $H_0$  и  $f$  создаются благоприятные условия для интенсивной работы одного (одних) ДИ и, наоборот, неблагоприятные условия для другого (других). В итоге один из ДИ становится лидирующим, а остальные или слабо и со сбоями генерируют домены, или совсем перестают действовать. Так, при значениях  $H_0$  и  $f$ , приближающихся к границам области 6 на ФД (рис. 1), лидирует ДИ, который испускает крупные цилиндрические домены. Внутри области 6 почти 3/4 площади образца занято устойчивой решеткой из крупных подвижных цилиндрических доменов (рис. 2, б). Диаметр их достигает  $\sim 250 \mu\text{m}$ .

В области 7 на ФД (рис. 1) активно действует ведущий центр, показанный на рис. 2, с. Количество кольцевых доменов в нем составляет 4–5 штук. Ширина доменов, образующих кольца, составляет  $\sim 50 \mu\text{m}$ . Диаметр внешнего кольца достигает  $\sim 1 \text{ mm}$ . Отметим, что в работе этого ведущего центра часто происходят сбои. Вместо кольца в центре генерируется несколько цилиндрических доменов. Однако, как показал опыт, с повышением температуры этот ведущий центр работает более стablyно, а количество колец значительно увеличивается.

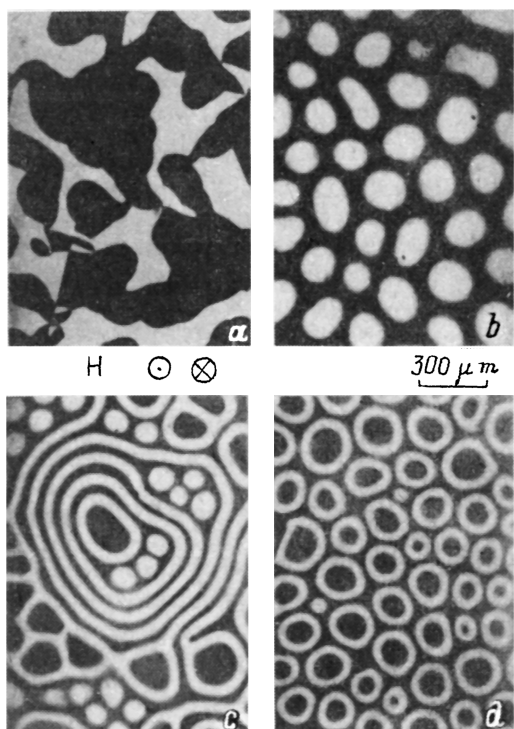


Рис. 2. Фотографии доменной структуры в отсутствие поля (а) и в переменном поле с различными  $f$  и  $H_0$  (б-д).

$f$ (кГц) и  $H_0$  (Ое): б — 40 и 81, с — 60 и 51, д — 100 и 55.  $T = 29^\circ\text{C}$ .

При  $f = 50$  кГц и выше начинает действовать источник, испускающий последовательно, друг за другом, кольцевые домены. Диаметр этих доменов значительно меньше, чем, например, диаметр наружных колец в ведущем центре. Поэтому мы назвали их «колечками» (область 8 на рис. 1). С увеличением  $H_0$  и  $f$  интенсивность генерации колечек усиливается. Работа других ДИ подавляется. В результате при значениях  $H_0$  и  $f$ , соответствующих области 9 на ФД (рис. 1), более 2/3 площади образца занято устойчивой, малоподвижной решеткой из колечек (рис. 2, д). При ширине доменов, образующих колечки, 20–40  $\mu\text{м}$ , внешний диаметр колечек составляет 50–250  $\mu\text{м}$ . Такая упорядоченная доменная структура наблюдается впервые.

Таким образом, при определенных сочетаниях  $H_0$  и  $f$  в области 4 на ФД в пленке термодинамически выгодным становится существование упорядоченных ДДС того или иного типа (решетки ДД, ВЦ, цилиндрических доменов, ведущие центры, решетки колечек). Тогда из имеющихся дефектов — потенциальных генераторов доменов — выбирается тот (или те), на котором формирование данного типа ДДС происходит легче всего. Этот дефект и оказывается лидирующим источником динамических доменов. Поскольку в области 4 на ФД (рис. 1) имеют место динамическая самоорганизация (образование упорядоченных ДДС) и самогенерация периодических процессов (работа ДИ), то ее можно отнести к области АС. По терминологии [4] это область АС-2. Заметим, что для описываемого образца при температурах 20–30°C при низких частотах 10<sup>2</sup>–10<sup>3</sup> Hz нет области АС-1, где на других пленках ФГ формируются подвижные, многовитковые спиральные или кольцевые динамические домены.

Итак, на ФД выделено несколько областей, которым соответствуют различные по конфигурации и динамическому поведению ДС: лома-  
ный, малоподвижный лабиринт (1); гладкий, подвижный лабиринт (2);  
приколотые звездочки (3); полный, очень подвижный хаос (5); регу-  
лярно работающие источники динамических доменов (4), в том числе  
ведущий центр (7); упорядоченная подвижная решетка цилиндриче-  
ских доменов (6); упорядоченная малоподвижная решетка колечек (9).  
Переход между фазами может быть постепенным, как между  $6 \rightleftharpoons 4$ , или  
довольно резким, как между  $1 \rightleftharpoons 2$ ,  $4 \rightleftharpoons 5$ ,  $2 \rightleftharpoons 4$ .

Таким образом, ФД дает более полную картину различных состоя-  
ний динамической системы магнитных доменов, чем отдельные ее  
фрагменты, такие, например, как области АС, введенные нами ранее  
[<sup>2,4</sup>]. Можно надеяться, что доменные динамические ФД станут столь  
же необходимыми и полезными в физике магнитных доменов, как диа-  
граммы магнитных фазовых переходов в физике магнитных (атомных)  
структур.

В заключение отметим, что требуют специального рассмотрения  
экспериментальные данные относительно количественных динамиче-  
ских и геометрических параметров доменных фаз; гистерезисных эф-  
фектов, которые наблюдаются при изменении частоты и амплитуды  
переменного поля; влияния формы поля  $H(t)$  и температуры на вид ФД  
и др. Естественно, встает вопрос о природе наблюденных явлений и  
теоретических моделях, адекватных реальным ДС.

Авторы выражают большую благодарность В.П. Клин и А.Я. Чер-  
воненкису за предоставленные для исследований пленки ферритов-  
гранатов.

Работа выполнена при финансовой поддержке Российского фонда  
фундаментальных исследований (грант 03-02-16340).

#### Список литературы

- [1] Кандаурова Г.С., Свидерский А.Э. Письма в ЖЭТФ **47**, 8, 410 (1988).
- [2] Кандаурова Г.С., Свидерский А.Э. Письма в ЖТФ **14**, 9, 777 (1988).
- [3] Кандаурова Г.С., Свидерский А.Э. ЖЭТФ **97**, 4, 1218 (1990).
- [4] Кандаурова Г.С., Иванов Ю.В. ФММ **76**, 1, 49 (1993).
- [5] Kandaurova G.S., Sviderskiy A.E. Physica B **176**, 213 (1992).
- [6] Кандаурова Г.С. ДАН **331**, 4, 428 (1993).
- [7] Лисовский Ф.В., Мансветова Е.Г., Николаева Е.П., Николаев А.В. ЖЭТФ **103**, 1, 213 (1993).
- [8] Кандаурова Г.С., Червоненкис А.Я., Свидерский А.Э. ФТТ **31**, 6, 238 (1989).
- [9] Власко-Власов В.К., Тихомиров О.А. ФТТ, **33**, 12, 3490 (1991).